

# 运算放大器构成的高速 模数转换器

王本吉

## 摘要

为了适应多道数字地震仪对模数转换器高转换速度的要求，本文提出一种由运算放大器构成的高速模数转换理论模型，并就它的基本工作原理、主要电路、转换速度和转换器精度等作了较为详细的介绍。该电路完成一个子样的转换仅需  $3.14\mu s$ 。

## ABSTRACT

A theoretical model of high speed analog to digital converter formed with operational amplifier is given so as to meet the requirement of the fast conversion for the multi-channel digital seismograph. Presented in this paper is the detailed description of the basic principle, the main circuit, the converting speed and accuracy etc. The conversion of a sample need only  $3.14\mu s$  with this kind of converter.

随着地震勘探技术的飞速发展，越来越需要研制多道数字地震仪，模数转换器转换速度的快慢决定了数字地震仪的道数。目前国产数字地震仪的模数转换器转换一个子样的速度大约需  $28\mu s$  左右，这种模数转换器的转换速度是不能适应多道仪器的。为此，本文提出一种由运算放大器构成的高速模数转换器理论电路，用它转换一个子样的时间仅需  $3.14\mu s$ 。

由于电子技术的不断发展及制造工艺的日益先进，使得目前的电子集成元件指标越来越高，这就为我们设计先进的电路提供了可能。下面提出的高速模数转换器就是在有了高精度、高速度的集成运算放大器和比较器的基础上设计的。

## 工作原理

用运算放大器构成的模数转换器是由符号位判别器、绝对值变换放大电路、十四个减法器、十四个比较器和经 T 网分压后获得的十四个参考电压构成的。其框图见图 1 所

高速模数转换器电路原理如图 2 所示。它处理的子样  $V_i$  不需要二采保持。

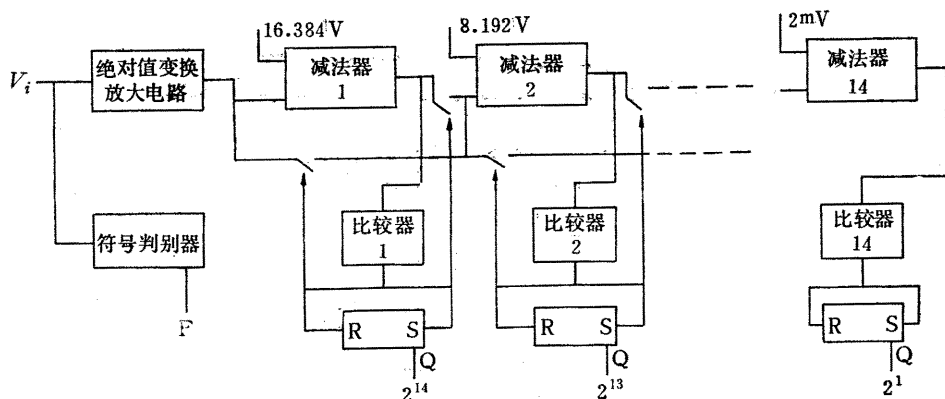
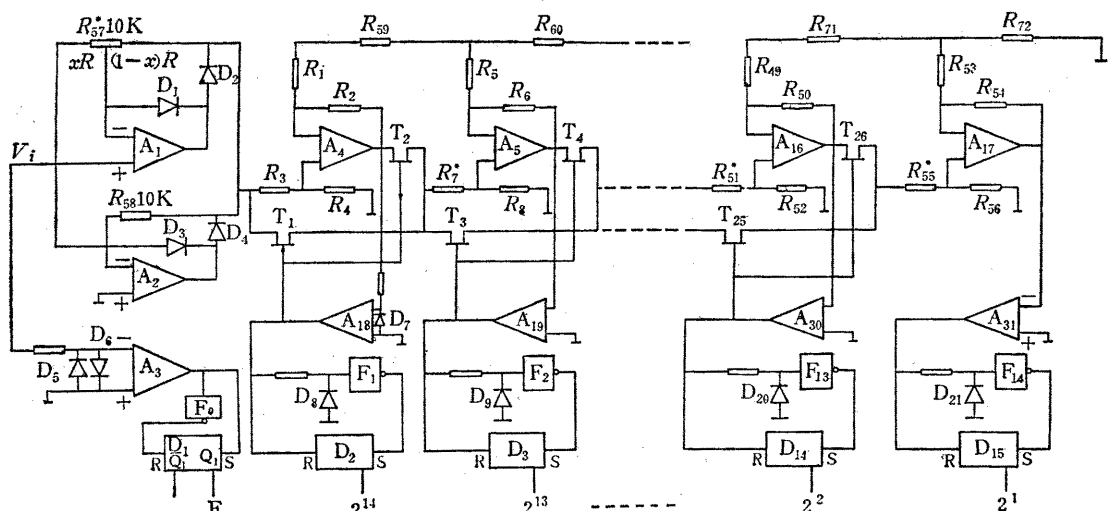


图 1 用运算放大器构成的模数转换器框图



$$R_1 = R_{58} = 10K \quad R_{59} - R_{71} = 2K \Omega \quad R_{72} = 4K \Omega \quad R^* \text{ 为可调电阻}$$

图 2 高速模数转换器电路原理图

当子样  $V_i$  进行模数转换时，分两路送入模数转换器。一路送入  $A_3$  进行符号位判别，另一路送往绝对值变换放大电路。

由  $A_1$ 、 $A_2$  组成的绝对值变换放大电路对  $V_i$  进行绝对值转换，并将  $V_i$  放大 4 倍，使其输出的子样电压为  $|4V_i|$ 。

$A_4$ 、 $A_{18}$  构成第一级减法器和比较器。被放大 4 倍的子样  $V_i$  与参考电压  $V_{\text{参}1}$  ( $+16.384V$ ) 在减法器  $A_4$  中做减法运算，其运算结果送往  $A_{18}$  比较器反相端。

当  $|4V_i| < V_{\text{参}1}$  时， $A_4$  输出负电压， $A_{18}$  输出高电平 (+9V)，该电平加至场效应管  $T_1$ 、 $T_2$  栅极，使  $T_1$  导通、 $T_2$  截止，子样  $|4V_i|$  直接送给下一级。 $A_{18}$  的输出同时加在  $D_2$  触发器的 R 端，使其置 0。其 Q 端为零表示本级权位电压值为零。

当  $|4V_i| > V_{\text{参}1}$  时， $A_4$  输出为正电压， $A_{18}$  输出为负电平 (-9V)，使  $T_1$  截止，

$T_2$  导通,  $A_4$  的输出为  $|4V_i| - V_{\text{ref}}$  直接送给下一级。 $A_{18}$  输出的负电平经过反相器  $F_1$  变为高电平加至  $D_2$  的 S 端, 使  $D_2$  置 1, Q 端为 1, 表示本级权位电压值存在。

当  $|4V_i| = V_{\text{ref}}$  时,  $A_4$  输出为 0V,  $A_{18}$  输出为 0V,  $T_1$ 、 $T_2$  可能均截止, 也可能  $T_2$  导通,  $T_1$  截止, 所以, 没有信号送给下一级。此时  $F_1$  为 1, 使  $D_2$  置 1, 表示该位权位电压值存在。

后十三级与第一级工作原理相同, 第十四级不存在  $T_1$ 、 $T_2$ , 因为信号到此不需要再向后面传送了。每一级的参考电压均比前一级减小一半。

## 主要电路及其工作原理

### 符号位判别器

符号位判别器由运算放大器  $A_3$  和反相器  $F_0$  及触发器  $D_1$  构成 (图3)。

当正子样  $V_i$  进行转换时,  $A_3$  输出为低电平,  $F_0$  输出为高电平, 给  $D_1$  置 0, 表示正子样。

当  $V_i$  为负子样时,  $A_3$  输出为高电平, 给触发器  $D_1$  置 1, Q 端输出为 1, 表示转换的子样  $V_i$  是负极性的。

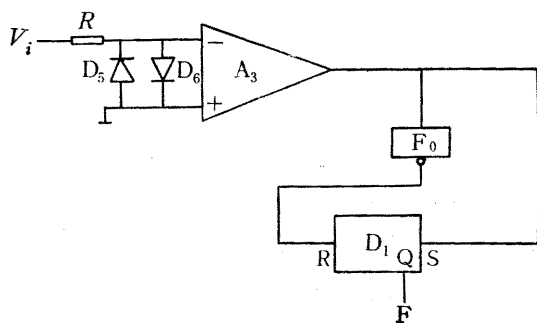


图 3 符号位判别器

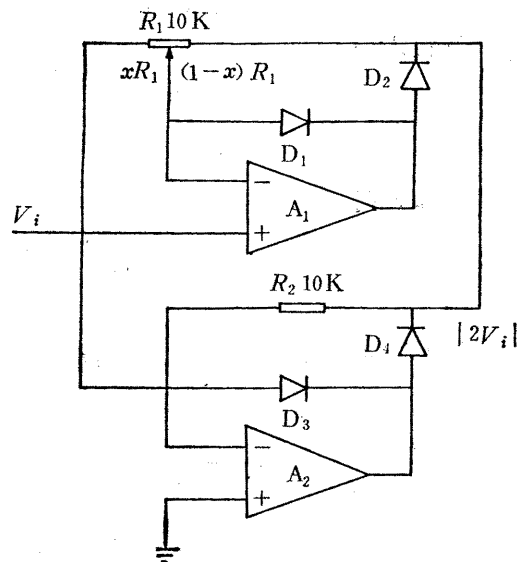


图 4 绝对值变换放大电路

$D_5$ 、 $D_6$  起限幅作用, 当  $V_i$  较大时,  $D_5$ 、 $D_6$  使  $A_3$  的反相端和同相端电位差为  $\pm 0.7V$  左右。为了使  $V_i$  不受  $D_5$ 、 $D_6$  限幅的影响, 加入电阻  $R$ 。

### 绝对值变换放大电路

为了使用同一极性的标准电压源就可以对正负极性的子样进行模数转换, 设置了一个绝对值变换放大电路 (图 4)。

图 4 所示的绝对值变换放大电路是宽动态范围的、精密的。其增益可以从 1 到几千, 它是通过改变电位器  $R_1$  实现的。该电路具有较宽的输入信号范围, 输入信号可以从 1mV 到 10V。

正信号送入时, 二极管  $D_2$ 、 $D_3$  导通,  $D_1$ 、 $D_4$  截止。输入信号通过同相放大器  $A_1$

的输出端输出，电路增益为  $\frac{1}{x}$ ，其中  $x$  是小于 1 的分数，它是由  $R_1$  的中心插头位置所决定的。

在正信号输入时，放大器  $A_2$  相当于将  $xR_1$  电阻的一端接地，由于  $D_4$  是反向偏置， $A_2$  的输出和整个电路的输出不连接。

负信号输入时，二极管  $D_2$ 、 $D_3$  截止， $D_1$ 、 $D_4$  导通。由于  $A_1$  的反相输入端和输入信号相等，这相当于输入信号通过电阻  $xR_1$  送至  $A_2$  的反相输入端，并通过  $A_2$  输出，这时的增益为  $-\frac{1}{x}$ 。因此，不论输入是正还是负，输出电压总是  $\left| \frac{V_i}{x} \right|$ 。

这里要求  $R_1$ 、 $R_2$  严格相等， $x$  取  $\frac{1}{4}$ ，即绝对值放大电路的输出为  $|4V_i|$ 。

$A_1$ 、 $A_2$  要采用动态范围较宽的高速元件，以达到设计要求。

### 减法器

图 5 是模数转换器中的减法器电路。现在推导其输入与输出的关系。

$V_{\text{参}}$  输入时

$$V_{0-} = -\frac{R_2}{R_1} V_{\text{参}} \quad (1)$$

$V_i$  输入时

$$V_{0+} = \frac{R_4}{R_3 + R_4} V_i \left(1 + \frac{R_2}{R_1}\right) \quad (2)$$

取  $R_1 = R_2 = R_3 = R_4 = 4K$ ，则式(1)、(2)分别为

$$V_{0-} = -V_{\text{参}} \quad (3)$$

$$V_{0+} = V_i \quad (4)$$

$$\begin{aligned} \text{所以 } V_0 &= V_{0-} + V_{0+} \\ &= V_i - V_{\text{参}} \end{aligned}$$

$V_i - V_{\text{参}}$  的结果送往比较器。当  $V_i - V_{\text{参}} > 0$  时，运放构成的比较器输出的低电平加在  $T_1$ 、 $T_2$  的栅极，使  $T_1$  截止， $T_2$  导通，减法运算的结果通过  $T_2$  送给下一级。当  $V_i - V_{\text{参}} < 0$  时，比较器输出高电平， $T_1$  导通， $T_2$  截止， $V_0$  不能输出，而  $V_i$  通过  $T_1$  送给下一级。当  $V_i - V_{\text{参}} = 0$  时，比较器输出为 0V，

$T_2$ 、 $T_1$  可能均截止，也可能  $T_2$  导通， $T_1$  截止，没有信号送给后一级。

在每一级的减法器中， $R_1$ 、 $R_2$ 、 $R_3$ 、 $R_4$  均应选用精密电阻。实际上  $R_3$  应选用可调电阻，除第一级的  $R_3$  外，其它十三级的  $R_3$  均应比  $R_1$ 、 $R_2$ 、 $R_4$  的阻值略小些，因为无论是  $T_1$  导通，还是  $T_2$  导通，两个开关在子样逐级传递过程中总有一个要导通的，其导通电阻大约  $50\Omega$  左右。

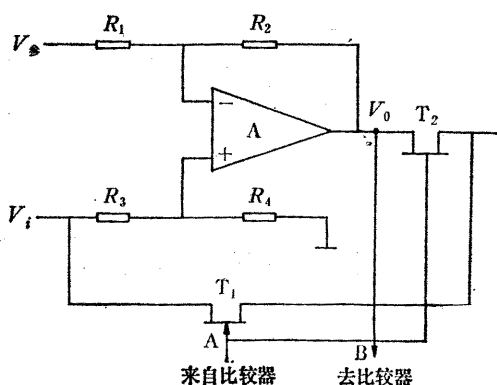


图 5 减法器电路

## 比较器和模数转换器的输出

图 6 是模数转换器中的比较器和权位显示电路。

减法器的输出  $V_i - V_{\text{参}}$  参加在比较器的反相端，当  $V_i - V_{\text{参}}$  大于零时，比较器 A 输出低电平，二极管 D<sub>2</sub> 将低电平钳位在 -0.7V，反相器 F 输出高电平，给 D 触发器置 1，表示本位权值电压存在，Q 即该位模数转换结果输出。比较器的输出同时送往减法器控制 T<sub>1</sub>、T<sub>2</sub>。当  $V_i - V_{\text{参}} = 0$  时，比较器输出 0V，反相器 F 仍输出为高电平，所以，D 触发器的 Q 端仍为 1。当  $V_i - V_{\text{参}} < 0$  时，比较器 A 输出高电平，给 D 触发器置 0，表示本位权值电压不存在。

从图 2 可知，参考电压总是加在减法器的反相端，所以当没有子样进行转换时，减法器总是输出低电位，而比较器总是输出高电平，高电平加在触发器的置零端，使得 Q = 0。最高位中的 D<sub>1</sub> 二极管是因为该级的参考电压比较大而加的限幅二极管。同样，因为比较器输出低电平太低，所以加入二极管 D<sub>2</sub>，使当比较器输出为低电平时，F 的输入为 -0.7V。

采用运算放大器来作比较器，主要是为了使比较器的输出高低电平能控制 T<sub>1</sub>、T<sub>2</sub> 的夹断与导通。对第一级比较器 ( $2^{14}$ ) 的输出，如果其输出高低电平控制不了 T<sub>1</sub>、T<sub>2</sub> 的夹断与导通，可以在其输出端加入电平转换级，用该电平转换器的输出去控制 T<sub>1</sub>、T<sub>2</sub>。

后面十三级比较电路，因为它们的参考电压较小，就不需要 R<sub>1</sub> 和 D<sub>1</sub> 了，其工作原理与第一级相同。

## 参考电压

第一级减法器的  $V_{\text{参}1}$  取 16.384V，后面十三级依权位大小分别为 8.192V, 4.096V, 2.048V, 1.024V, 512 mV, 256 mV, 128 mV, 64 mV, 32 mV, 16 mV, 8 mV, 4 mV, 2 mV。

每级的参考电压也是通过 T 网分压获得的，在图 2 的 T 网电路中与一般 T 网所不同的只是纵臂，除纵臂电阻外，还串有一个减法器。下面计算带有减法器时 T 网的纵臂电阻。

仅以 T 网的第一个纵臂为例，计算图 7 左中由  $V_{\text{参}1}$  点看输入阻抗。图 7 右是图 7(a) 的等效电路。

由等效电路知，从信号源看进去的输入阻抗  $R_{if}$  为

$$R_{if} = R_1 + \left[ \frac{R_2}{1 + K_{od}} \parallel (r_i + R_3 \parallel R_4) \right] \quad (5)$$

式中  $K_{od}$  为开环放大倍数， $r_i$  为运算放大器 A 的输入阻抗。一般  $K_{od} > 10^4$ ,  $r_i > 10M\Omega$ 。

因  $R_1 = R_2 = R_3 = R_4 = 4k\Omega$ ，则

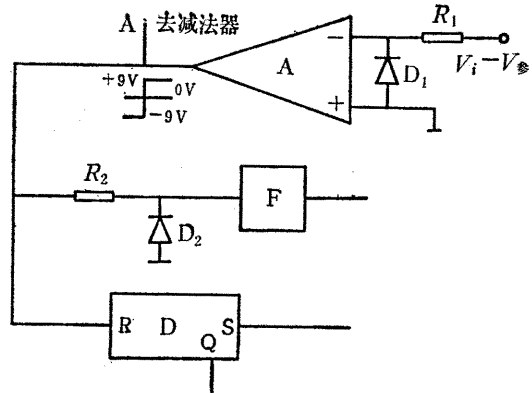
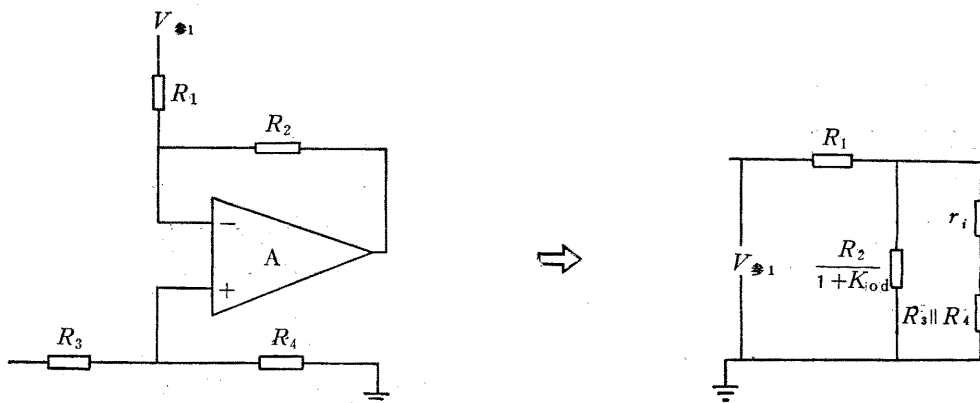


图 6 比较器和权位显示电路

图 7 由  $V_{\text{ref}1}$  点看输入阻抗及其等效电路

$$R_{if} \approx 4 + \frac{4}{10000} (\text{k}\Omega)$$

可见,  $R_{if}$  约等于  $R_1$ , 所以图 2 中的所有纵臂电阻相当于接地, 由减法器所引起电阻改变的误差很小, 对本电路无影响, 这样, 每位的参考电压就达到了按 2 的权位依次分配的要求了。第一位的 16.384V 是由标准电压源供给的。

### 转 换 速 度

模数转换器中的减法器选用高速型、宽频带运算放大器, 象前面提到的 HA2-2520, 其压摆率达到  $100\text{V}/\mu\text{s}$  以上, 使用这样的运放做减法运算, 速度快, 每进行一次运算仅需  $0.1\mu\text{s}$ ,

采用运放构成的比较器响应时间一般也在  $0.1\mu\text{s}$  左右, 场效应管的导通时间更短, 有些采用特殊工艺制作的场效应管, 开关延迟可缩短到  $1\text{ns}$ , 这里我们为留有余量, 认为其延迟时间为  $10\text{ns}$ 。

所以, 转换一位所需的时间应为

$$\begin{aligned} & \text{减法器时间} + \text{比较器时间} + \text{开关导通时间} \\ & = 0.1 \mu\text{s} + 0.1 \mu\text{s} + 10\text{ns} \\ & = 0.21 \mu\text{s} \end{aligned}$$

转换十四位所需时间

$$0.21\mu\text{s} \times 14 = 2.94\mu\text{s}$$

前面的绝对值变换放大电路所需时间为  $0.16\mu\text{s}$ , 这里取  $0.2\mu\text{s}$ 。所以转换一个子样的时间为

$$0.2\mu\text{s} + 2.94\mu\text{s} = 3.14\mu\text{s}$$

符号位判别器和权位输出不占用模数转换器时间, 因为在它们工作的同时, 绝对值变换放大电路和减法器同它们并行工作

## 模数转换器的精度

整个模数转换器共十四位，最高位权值为  $16.384V$ ，最低位权值为  $2mV$ ，转换一个子样最大误差为  $2mV$ ，由于整个模数转换器权位电压加大，其分辨率为  $1/2^{14}$ 。

模数转换器最低位取  $2mV$ ，是因为一般的比较器有一个小于  $2mV$  的线性工作区，为克服比较器这一缺点，而将最小码设置为  $2mV$ ，最大码为  $16.384V$ 。

模数转换器中的运算放大器均应采用复合形，如图 8 所示。

减法器采用图 8 电路，最大的优点是抑制零漂，如果  $A_1$ 、 $A_2$  两运放参数相同，则  $A_1$ 、 $A_2$  的零漂刚好抵消，且不影响转换速度。

除零漂外，复合形运放对失调电压抑制也很有效，因为  $A_1$  的失调电压刚好与  $A_2$  的失调电压抵消。

复合形运放构成的减法器对于其它因素的影响都是很小的。因为减法器本身放大倍数为 1，不是很大。而绝对值变换放大电路放大倍数为 2，且对所有道都一样，所以影响也不大。

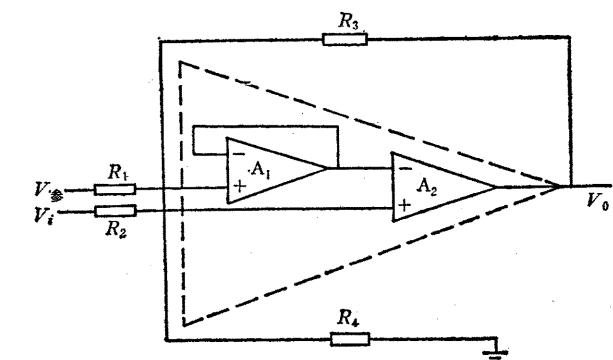


图 8 复合形运放构成的减法器

## 结 束 语

从整个模数转换器工作过程来看，主放每送出一个子样，都可以不需要二采保持，直接进行模数转换，转换时不需要节拍，转换结果直接由寄存器  $D_1, \dots, D_{15}$  送出。该模数转换器为数字地震仪而设计的，但也可应用于其它领域。整个电路可能还不够完善，因为它仅是一个理论模型，加之实验条件不具备，因而可能还存在一些问题。但是，从转换速度的概念出发，对一些需求高速转换器的系统还是有参考价值的。

## 参 考 文 献

- [1] 长春地质学院，《地震勘探仪器》，地质出版社，1980
- [2] 《数字地震仪》编写组编，《数字地震仪》，石油工业出版社，1979
- [3] 吕广平、徐笑貌编，《集成电路应用 500 例》，人民邮电出版社，1983
- [4] 清华大学，《晶体管脉冲电路与数字集成电路》，下册，人民邮电出版社，1978